

# ГИДРОДИНАМИЧЕСКОЕ СОПРОТИВЛЕНИЕ ФРАКТАЛЬНОГО КЛАСТЕРА

А. Л. Черняков\*

Российский научный центр «Курчатовский институт»  
123182, Москва, Россия

Поступила в редакцию 24 апреля 2001 г.

На основе уравнения Бринкмана рассмотрена задача о гидродинамическом сопротивлении фрактального кластера. Получено аналитическое выражение для силы сопротивления больших и малых кластеров в зависимости от их фрактальной размерности.

PACS: 47.53.+n, 47.55.Mh

## 1. ВВЕДЕНИЕ

Фрактальные кластеры образуются в различных природных и технологических процессах и их исследованию посвящено много работ [1–4]. Одной из важных характеристик кластеров является гидродинамический радиус  $R_H$ , который равен радиусу непроницаемой частицы с таким же коэффициентом гидродинамического сопротивления. Эта характеристика кластеров используется при экспериментальном определении их размерности [2, 3]. Для описания течения жидкости и определения гидродинамического сопротивления фрактального кластера часто используют модель пористого шара, в которой сферически-симметричная плотность частиц, образующих кластер, распределена степенным образом в зависимости от радиуса. Гидродинамика жидкости при этом описывается уравнением Бринкмана [5] с проницаемостью, зависящей от координат. Для аналитических оценок обычно используют результаты Дебая и Бухе [6] для однородного пористого шара. Для получения результатов при произвольной размерности фрактального кластера используются численные методы [7–9]. Гидродинамическое сопротивление неоднородного пористого шара численными методами вычислялось в работе [10]. В данной работе получены аналитические выражения для гидродинамического радиуса  $R_H$  и коэффициента протекания жидкости  $\eta$  больших и малых кластеров при произвольной фрактальной размерности.

## 2. ИССЛЕДОВАНИЕ РЕШЕНИЙ УРАВНЕНИЯ БРИНКМАНА

Поле течения жидкости  $\mathbf{V}$  вокруг кластера радиуса  $R$  при малых числах Рейнольдса  $Re = VR/\nu \ll 1$ , где  $\nu$  — кинематическая вязкость, можно описывать уравнениями Бринкмана [5]

$$\Delta \mathbf{V} - \kappa^2(r) \mathbf{V} - \frac{1}{\mu} \nabla p = 0, \quad \text{div } \mathbf{V} = 0, \quad (1)$$

где  $\mathbf{V}(\mathbf{r})$  — скорость жидкости,  $p$  — давление,  $\mu$  — динамическая вязкость. Будем считать  $\kappa^2(r)$  пропорциональным плотности  $n$  вещества в кластере (иногда используются более сложные модели [8, 9]). Число частиц  $N$  во фрактальном кластере связано с его радиусом  $R$  соотношением

$$N = C \left( \frac{R}{a} \right)^D,$$

где  $a$  — радиус первичных частиц составляющих кластер,  $D$  — размерность кластера,  $C$  — коэффициент пропорциональности, который может зависеть от  $D$ . Плотность  $n$  при этом равна

$$n = \frac{CD}{4\pi a^3} \left( \frac{a}{r} \right)^{3-D}.$$

При малой плотности мы можем считать величину, обратную проницаемости, пропорциональной плотности частиц

$$\kappa^2 = \alpha 6\pi a n(r) = \kappa_0^2 \left( \frac{R}{r} \right)^{3-D},$$

\*E-mail: achern@lukash.asc.rssi.ru

где  $\alpha$  — коэффициент порядка единицы,  $\kappa_0^{-2}$  — проницаемость на поверхности кластера. Переходя к безразмерным переменным  $r' = r/R, \mathbf{V}' = \mathbf{V}/V_0, p' = pR/\mu V_0$  и опуская в дальнейшем штрихи, запишем уравнение (1) в виде

$$\Delta \mathbf{V} - \frac{\beta^2}{r^s} \mathbf{V} - \nabla p = 0, \quad \text{div } \mathbf{V} = 0, \quad (2)$$

где

$$\beta^2 = \kappa_0^2 R^2 = \frac{2\alpha CD}{3} \left(\frac{R}{a}\right)^{D-1},$$

$s = 3 - D$ . Решение уравнения (2) будем искать в сферической системе координат с полярной осью, направленной вдоль набегающего на покоящийся кластер потока жидкости. Выразим скорость потока через азимутальную компоненту векторного потенциала  $\mathbf{V} = \text{rot } \mathbf{A}_\phi$ . Решение будем искать в виде

$$\begin{aligned} p &= \cos \theta \cdot p(r), \\ A_\phi &= \frac{1}{2} \sin \theta \cdot r \chi(r), \\ V_r &= \frac{1}{r \sin \theta} \frac{\partial}{\partial \theta} (\sin \theta \cdot A_\phi) = \cos \theta \cdot \chi(r), \\ V_\theta &= -\frac{1}{r} \frac{\partial}{\partial r} (r A_\phi) = -\frac{1}{2} \sin \theta \frac{1}{r} \frac{\partial}{\partial r} (r^2 \chi(r)). \end{aligned} \quad (3)$$

Подставляя эти выражения в уравнение для радиальной компоненты скорости, получим

$$\chi'' + \frac{4}{r} \chi' - \frac{\beta^2}{r^s} \chi = p'. \quad (4)$$

Взяв дивергенцию от уравнения движения (2) получим второе уравнение

$$p'' + \frac{2}{r} p' - \frac{2}{r^2} p = \frac{\beta^2 s}{r^{s+1}} \chi. \quad (5)$$

Уравнения (4), (5) составляют полную систему уравнений для определения поля течения и распределения давления внутри и вне фрактального кластера. Вне кластера  $\beta = 0$  и общее решение уравнений (4), (5), удовлетворяющее граничным условиям на бесконечности, имеет вид

$$\chi = 1 + \frac{A_1}{r} + \frac{A_2}{r^3}, \quad p = \frac{A_1}{r^2}, \quad (6)$$

где  $A_1, A_2$  — неопределенные коэффициенты. Внутри кластера решения уравнений (4), (5) выражаются через элементарные функции только в случаях

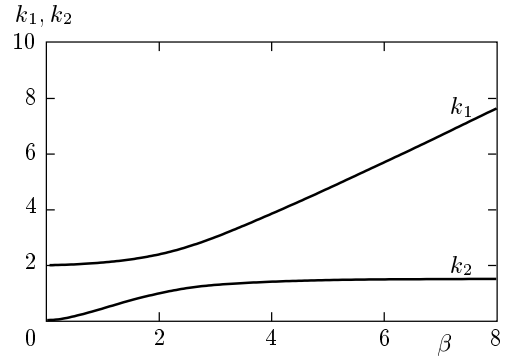


Рис. 1. Зависимость положительных корней уравнения (10) от параметра  $\beta$

$s = 0, 2$ . Для однородного пористого шара с  $s = 0$  два регулярных в нуле решения равны

$$\begin{aligned} \chi_1 &= \frac{1}{r^{3/2}} I_{3/2}(\beta r) = \\ &= \frac{1}{r^2} \left[ \text{ch}(\beta r) - \frac{1}{\beta r} \text{sh}(\beta r) \right], \quad p_1 = 0, \end{aligned} \quad (7)$$

где  $I_{3/2}$  — функция Бесселя мнимого аргумента и

$$\chi_2 = 1, \quad p_2 = -\beta^2 r. \quad (8)$$

Для фрактального кластера с  $s = 2$  решения имеют степенной вид

$$\chi = r^k, \quad p = \frac{2\beta^2}{k(k-1)-2} r^{k-1}. \quad (9)$$

Показатель степени удовлетворяет уравнению четвертой степени

$$(k^2 + 3k - \beta^2)(k^2 - k - 2) = 2\beta^2(k-1), \quad (10)$$

из которого находим два положительных корня  $k_{1,2}$ . Зависимость решения этого уравнения от параметра  $\beta$  приведена на рис. 1. При малых и больших значениях  $\beta$  корни равны

$$\begin{aligned} k_1 &= 2 + \frac{1}{15} \beta^2, \quad k_2 = \frac{2}{3} \beta^2, \quad \beta^2 \ll 1, \\ k_1 &= \beta - \frac{1}{2} + \frac{9}{8\beta}, \quad k_2 = \frac{\sqrt{17}-1}{2}, \quad \beta^2 \gg 1. \end{aligned} \quad (11)$$

Для решения системы уравнений (4), (5) при произвольной размерности кластера  $0 < s < 2$  введем новую переменную

$$y = \frac{\beta r^{1-s/2}}{1-s/2} \quad (12)$$

и новую функцию  $\tilde{p}(r) = rp(r)$ . Тогда уравнения (4), (5) принимают вид

$$\frac{d^2\chi}{dy^2} + \frac{8-s}{(2-s)y} \frac{d\chi}{dy} - \chi = \frac{2}{(2-s)y} \frac{d\tilde{p}}{dy} - \frac{4}{(2-s)^2 y^2} \tilde{p}, \quad (13)$$

$$\frac{d^2\tilde{p}}{dy^2} - \frac{s}{(2-s)y} \frac{d\tilde{p}}{dy} - \frac{8}{(2-s)^2 y^2} \tilde{p} = s\chi. \quad (14)$$

Видно, что при  $s \neq 2$  особыми точками системы дифференциальных уравнений являются только  $y = 0$  и  $\infty$ . Как следует из теории линейных дифференциальных уравнений [11], функции  $\chi(y)$  и  $\tilde{p}$  аналитичны на всей плоскости комплексного переменного  $y$  за исключением точек  $0$  и  $\infty$ . Точка  $y = 0$  является регулярной особой точкой системы дифференциальных уравнений (13), (14). Вблизи нуля мы можем искать решения в виде рядов по степеням  $y$ . Первую пару решений получим, подставляя разложения

$$\begin{aligned} \chi_1(r) &= r^l \sum_{n=0}^{\infty} a_n^1 \beta^{2n} r^{(2-s)n}, \\ p_1(r) &= r^{l-1} \sum_{n=0}^{\infty} b_n^1 \beta^{2n} r^{(2-s)n} \end{aligned} \quad (15)$$

в уравнения (4), (5) и приравнивая коэффициенты при одинаковых степенях  $r$ . В результате найдем уравнение, определяющее  $l$ , и систему рекуррентных соотношений для определения коэффициентов  $a_n^1, b_n^1$ . Величина  $l$  определяется из квадратного уравнения

$$(l-1)l - 2 = 0.$$

При  $l = 2$  получим регулярное в нуле решение, а при  $l = -1$  получим сингулярное решение. Для  $l = 2$  система уравнений для определения неизвестных коэффициентов  $a_n^1, b_n^1$  имеет вид

$$\begin{aligned} [(2-s)n+2][(2-s)n+5]a_n^1 - a_{n-1}^1 &= [(2-s)n+1]b_n^1, \\ \{[(2-s)n+1][(2-s)n+2]-2\}b_n^1 &= sa_{n-1}^1. \end{aligned} \quad (16)$$

Запишем в явном виде полученное решение с точностью до членов, пропорциональных  $\beta^2$ :

$$\begin{aligned} \chi_1(r) &= r^2 \left\{ 1 + \frac{\beta^2 r^{2-s}}{(4-s)(7-s)} \times \right. \\ &\times \left. \left[ 1 + \frac{s(3-s)}{(3-s)(4-s)-2} \right] + \dots \right\}, \\ p_1(r) &= r \left\{ 10 + \frac{\beta^2 r^{2-s} s}{(3-s)(4-s)-2} + \dots \right\}. \end{aligned} \quad (17)$$

Второе независимое решение получим, используя разложения вида

$$\begin{aligned} \chi_2(r) &= r^l \sum_{n=0}^{\infty} a_n^2 \beta^{2n} r^{(2-s)n}, \\ p_2(r) &= \beta^2 r^{l+1-s} \sum_{n=0}^{\infty} b_n^2 \beta^{2n} r^{(2-s)n}. \end{aligned} \quad (18)$$

Подставляя эти ряды в уравнения (4), (5), опять получим уравнение, определяющее  $l$ ,

$$l(l+3) = 0.$$

Только решение с  $l = 0$  является регулярным в нуле. Рекуррентная система уравнений в этом случае имеет вид:

$$\begin{aligned} (2-s)n[(2-s)n+3]a_n^2 - a_{n-1}^2 &= [(2-s)(n-1)+1-s]b_{n-1}^2, \\ \{[(2-s)n+1-s](2-s)(n+1)-2\}b_n^2 &= sa_n^2. \end{aligned} \quad (19)$$

Запишем это решение с точностью до членов, пропорциональных  $\beta^2$ :

$$\begin{aligned} \chi_2(r) &= 1 + \frac{2\beta^2 r^{2-s}}{(2-s)(5-s)(3-s)} + \dots, \\ p_2(r) &= \beta^2 r^{1-s} \left\{ \frac{1}{s-3} + \beta^2 r^{2-s} \times \right. \\ &\times \left. \frac{2s}{(2-s)(5-s)(3-s)[(3-2s)(4-2s)-2]} + \dots \right\}. \end{aligned} \quad (20)$$

Интересно проследить, как при  $\beta^2 \ll 1$  решения (15), (18) переходят в решения (9) при  $s \rightarrow 2$ . В этом пределе рекуррентные соотношения (16), (19) легко решаются:

$$a_n^1 = \frac{1}{n!} \left[ \frac{1}{15(2-s)} \right]^n, \quad b_n^1 = 10a_n^1,$$

$$a_n^2 = -b_n^2 = \frac{1}{n!} \left[ \frac{2}{3(2-s)} \right]^n.$$

Подставляя эти коэффициенты в ряды (15) и (18) и суммируя, получим

$$\begin{aligned} \chi_1(r) &= r^2 \exp \left[ \frac{\beta^2 r^{2-s}}{15(2-s)} \right], \\ p_1(r) &= 10r \exp \left[ \frac{\beta^2 r^{2-s}}{15(2-s)} \right], \\ \chi_2(r) &= \exp \left[ \frac{2\beta^2 r^{2-s}}{3(2-s)} \right], \end{aligned}$$

$$p_2(r) = -\frac{1}{r} \exp \left[ \frac{2\beta^2 r^{2-s}}{3(2-s)} \right].$$

Из этих выражений видно, что при  $\beta^2 \ll 1$  и  $s \rightarrow 2$  полученные решения отличаются от точных решений (9) только постоянными множителями.

Теперь исследуем поведение решений при  $y \gg 1$ . Точка  $y = \infty$  является нерегулярной особой точкой системы уравнений (14), (15). Для одной пары решений  $y = \infty$  является существенной особой точкой, а для другой пары — точкой ветвления. Решения с существенно особой точкой будем искать в виде

$$\begin{aligned} \chi(r) &= r^l \exp \left\{ \pm \frac{\beta r^{1-s/2}}{1-s/2} \right\} \times \\ &\times \sum_{n=0}^{\infty} a_n \beta^{-n} r^{-(1-s/2)n}, \\ p(r) &= sr^{l-1} \exp \left\{ \pm \frac{\beta r^{1-s/2}}{1-s/2} \right\} \times \\ &\times \sum_{n=0}^{\infty} b_n \beta^{-n} r^{-(1-s/2)n}. \end{aligned} \tag{21}$$

Подставляя эти разложения в уравнения (4), (5), найдем  $l = -(2 - 3s/4)$  и систему уравнений для определения коэффициентов  $a_n, b_n$ . Запишем ответ с точностью до членов, пропорциональных  $\beta^{-1}$ , для растущего на бесконечности решения:

$$a_0 = b_0 = 1,$$

$$a_1 = - \left[ s \left( 1 - \frac{s}{4} \right) + \left( 2 - \frac{3s}{4} \right) \left( 1 + \frac{3s}{4} \right) \right] \times (2-s)^{-1}, \tag{22}$$

$$b_1 = a_1 + (4-s).$$

Решения с точкой ветвления на бесконечности получаются из разложения по обратным степеням  $y$ :

$$\begin{aligned} \chi_2 &= r^{m+1} \sum_{n=1}^{\infty} a_n \beta^{-2n} r^{-(2-s)n}, \\ p_2 &= r^m \sum_{n=0}^{\infty} b_n \beta^{-2n} r^{-(2-s)n}. \end{aligned} \tag{23}$$

После приравнивания членов с одинаковыми степенями  $r$  в уравнениях (4), (5) получаем рекуррентные соотношения

$$\begin{aligned} [m+1-(2-s)n][m+4-(2-s)n]a_n - a_{n+1} &= \\ &= [m-(2-s)n]b_n, \end{aligned}$$

$$\{[m-(2-s)n][m+1-(2-s)n]-2\}b_n = sa_{n+1}.$$

При  $n = 0$ , учитывая, что  $a_0 = 0$ , из этой системы получаем уравнение для определения  $m$ :

$$m^2 + (1+s)m - 2 = 0.$$

Одно решение оказывается растущим на бесконечности, а другое стремится к нулю. Заметим, что убывающие на бесконечности решения должны быть сингулярными в нуле, так как у модуля аналитической функции не может быть максимума внутри области аналитичности [12]. Поэтому нас будут интересовать только растущие на бесконечности решения. Для растущей на бесконечности функции

$$m = \sqrt{\left(\frac{1+s}{2}\right)^2 + 2} - \frac{1+s}{2}. \tag{24}$$

Нам в дальнейшем понадобятся лишь первые члены разложения

$$\chi_2 = -m\beta^{-2}r^{m+1-(2-s)}, \quad p_2 = r^m. \tag{25}$$

### 3. ГИДРОДИНАМИЧЕСКИЙ РАДИУС ФРАКТАЛЬНОГО КЛАСТЕРА

Общее решение системы уравнений (4), (5) внутри фрактального кластера можно записать в виде

$$\chi(r) = B_1\chi_1(r) + B_2\chi_2(r),$$

$$p(r) = B_1p_1(r) + B_2p_2(r),$$

где  $(\chi_1(r), p_1(r)), (\chi_2(r), p_2(r))$  — два независимых ограниченных в нуле решения. Зная теперь структуру решения внутри фрактального кластера, мы можем сшить его с внешним решением. На поверхности кластера при  $r = 1$  должны быть непрерывны компоненты скорости и компоненты тензора потока импульса [13]

$$\sigma_{rr} = -p + 2\frac{\partial V_r}{\partial r},$$

$$\sigma_{r\theta} = \frac{1}{r} \frac{\partial V_r}{\partial \theta} + \frac{\partial V_\theta}{\partial r} - \frac{V_\theta}{r}.$$

Это приводит к условию непрерывности при  $r = 1$  функций  $\chi, \chi', \chi''$  и давления  $p$ . Для коэффициентов  $A_1, A_2, B_1, B_2$  получаем систему линейных уравнений

$$\begin{aligned} 1 + A_1 + A_2 &= B_1\chi_1 + B_2\chi_2, \\ -A_1 - 3A_2 &= B_1\chi'_1 + B_2\chi'_2, \\ 2A_1 + 12A_2 &= B_1\chi''_1 + B_2\chi''_2, \\ A_1 &= B_1p_1 + B_2p_2. \end{aligned} \tag{26}$$

Из этой системы определяются все коэффициенты разложения через значения в точке  $r = 1$  функций  $\chi_1, \chi_2$  и их производных. Наибольший интерес представляет коэффициент  $A_1$ , через который выражается сила сопротивления кластера  $F$  и безразмерный гидродинамический радиус  $R_H$

$$R_H = \frac{F}{6\pi\mu V_0 R} = \frac{2}{3} A_1.$$

Из системы уравнений (26) следует

$$A_1 = -\frac{3}{2} \left\{ 1 - \frac{3\chi_2 + \chi'_2}{2p_2} + \left( 1 + \frac{\beta^2\chi_2 + p'_2}{2p_2} \right) \times \frac{p_2(3\chi_1 + \chi'_1) - p_1(3\chi_2 + \chi'_2)}{p_2(\beta^2\chi_1 + p'_1) - p_1(\beta^2\chi_2 + p'_2)} \right\}^{-1}. \quad (27)$$

Другой интересной величиной является коэффициент протекания жидкости  $\eta$ , который равен отношению потока жидкости, проходящего через пористую среду, к потоку жидкости на бесконечности, проходящему через площадь  $\pi R^2$ :

$$\eta = \frac{2}{R^2 V_0} \int_0^{\pi/2} V_r \sin \theta d\theta = B_1 \chi_1 + B_2 \chi_2.$$

Для этой величины получаем выражение

$$\eta = -A_1 \left\{ \frac{\chi_2}{p_2} + \frac{(p_1\chi_2 - p_2\chi_1) \left( 2 + \frac{\beta^2\chi_2 + p'_2}{p_2} \right)}{p_2(\beta^2\chi_1 + p'_1) - p_1(\beta^2\chi_2 + p'_2)} \right\}. \quad (28)$$

В случае однородного пористого шара при  $s = 0$ , подставляя точные решения (7), (8) в (27), получим известные выражения [6] для гидродинамического радиуса

$$R_H = \left\{ \frac{3}{2} \beta^{-2} + \left( 1 - \frac{\text{th} \beta}{\beta} \right)^{-1} \right\}^{-1} \quad (29)$$

и коэффициента  $\eta$

$$\eta = \frac{9}{2\beta^2} R_H. \quad (30)$$

При  $\beta \ll 1$  из (29) получаем

$$R_H = \frac{2}{9} \beta^2 \left( 1 - \frac{4}{15} \beta^2 \right),$$

а при  $\beta \gg 1$  с точностью до  $\beta^{-3}$  имеем

$$R_H = \left( 1 + \beta^{-1} + \frac{5}{2} \beta^{-2} + \beta^{-3} \right)^{-1}.$$

В другом предельном случае, при  $s = 2$ , подстановка точных решений (9) в (27), (28) дает выражения для гидродинамического радиуса

$$R_H = \left\{ 1 - \frac{1}{4\beta^2} (k_2 + 3)(k_2^2 - k_2 - 2) + \frac{k_2(k_2 + 1)}{4\beta^2} \times \frac{[(k_1 + 3)(k_1^2 - k_1 - 2) - (k_2 + 3)(k_2^2 - k_2 - 2)]}{k_1(k_1 + 1) - k_2(k_2 + 1)} \right\}^{-1}$$

и коэффициента протекания

$$\eta = \frac{3}{4\beta^2} R_H \left\{ (2 + k_2 - k_2^2) + k_2(k_2 + 1) \times \frac{k_1(k_1 - 1) - k_2(k_2 - 1)}{k_1(k_1 + 1) - k_2(k_2 + 1)} \right\},$$

где  $k_1, k_2$  — корни уравнения (10). При  $\beta \ll 1$  имеем

$$R_H = \frac{2}{3} \beta^2 \left( 1 - \frac{4}{3} \beta^2 \right),$$

$$\eta = 1 - \frac{8}{9} \beta^2.$$

Для больших кластеров с  $\beta \gg 1$  получаем с точностью до  $\beta^{-3}$

$$R_H = \left\{ 1 + \beta^{-1} + \frac{\sqrt{17} + 3}{4} \beta^{-2} - \frac{23}{8} \beta^{-3} \right\}^{-1}, \quad (31)$$

$$\eta = \beta^{-2} \frac{3}{2} R_H (k_2 + 1) = \beta^{-2} R_H \frac{3(\sqrt{17} + 1)}{4}. \quad (32)$$

На рис. 2 показаны точные зависимости гидродинамического радиуса  $R_H$  и коэффициента протекания жидкости  $\eta$  от параметра  $\beta$  для двух предельных значений размерности  $D = 3$  и  $D = 1$ . Штриховыми линиями показаны асимптотические зависимости с точностью до  $\beta^{-3}$ .

Теперь, пользуясь полученными выше решениями при произвольных значениях  $s$ , вычислим значение гидродинамического радиуса  $R_H$  и величины  $\eta$  при больших и малых значениях  $\beta$ . При  $2\beta^2 \ll 2 - s$ , подставляя разложения (17), (20) в формулы (27), (28), получим

$$R_H = \frac{2\beta^2}{3(3-s)} \left\{ 1 - \frac{2\beta^2}{3(3-s)} \times \left[ 1 + \frac{2s^2 - 15s + 10}{(5-s)[(3-2s)(4-2s) - 2]} \right] \right\}, \quad (33)$$

$$\eta = 1 - \frac{2\beta^2}{(3-s)(5-s)} \times \left[ 6 - s - \frac{3s}{(3-2s)(4-2s) - 2} \right]. \quad (34)$$

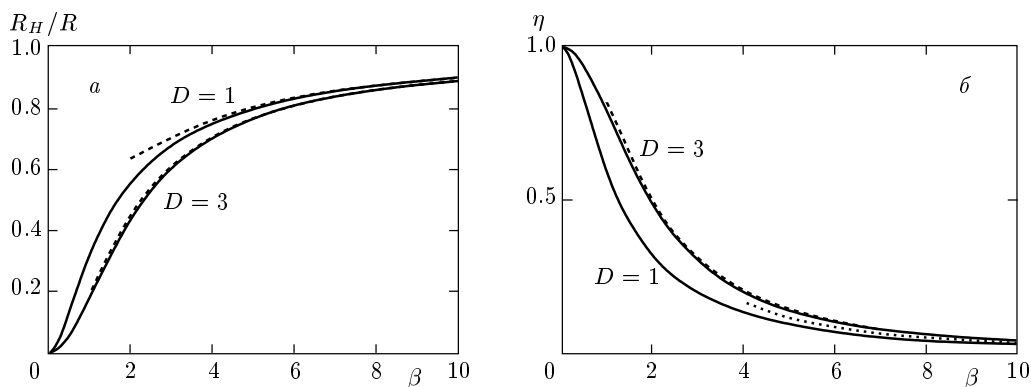


Рис. 2. Зависимости гидродинамического радиуса  $R_H$  (а) и коэффициента протекания  $\eta$  (б) от  $\beta$  для двух значений размерности фрактального кластера  $D = 1, 3$

Эти выражения при  $s = 0$  переходят в выражения для однородного пористого шара, а первый член в разложении (33) справедлив для произвольной размерности  $0 < s < 2$  и точно совпадает с полученным выражением для  $s = 2$ .

Для больших кластеров с  $\beta \gg 1$  после подстановки решений (21), (25) в выражения (27), (28) найдем

$$R_H = \left\{ 1 + \beta^{-1} + \beta^{-2} \frac{1}{4} \left[ \sqrt{(s+1)^2 + 8} - 2s + 7 \right] + \beta^{-3} \left[ 1 - \frac{s}{8} \left( 17 - \frac{3}{4}s \right) \right] \right\}^{-1}, \quad (35)$$

$$\eta = \beta^{-2} \frac{3}{2} R_H (m + 2) = \beta^{-2} \frac{3}{2} R_H \left[ \sqrt{\left( \frac{1+s}{2} \right)^2 + 2} - \frac{1+s}{2} + 2 \right]. \quad (36)$$

Видно, что полученные асимптотические выражения для гидродинамического радиуса  $R_H$  (35) и коэффициента протекания  $\eta$  (36) для фрактального кластера с произвольной размерностью  $D = 3 - s$  точно переходят в соответствующие приведенные ранее выражения для  $s = 0$  и  $s = 2$ . Как следует из (35), влияние размерности на гидродинамический радиус при  $\beta \gg 1$  начинается только с членов, пропорциональных  $\beta^{-2}$ . Отметим, что кривые  $R_H(\beta)$  и  $\eta(\beta)$  на рис. 2, построенные для размерностей  $D = 3$  и  $D = 1$ , ограничивают область возможных значений соответствующих величин при изменении размерности в интервале  $3 > D > 1$ .

В заключение выражаю благодарность А. А. Киришу и И. Б. Стечкиной за обсуждение данной работы.

### ЛИТЕРАТУРА

1. Б. М. Смирнов, *Физика фрактальных кластеров*, Наука, Москва (1991).
2. Е. П. Емец, А. Э. Новоселова, П. П. Полуэктов, *УФН* **164**, 959 (1994).
3. S. Nyeki and I. Colbeck, *J. Aerosol Sci.* **25**, 75 (1994).
4. Е. Ф. Михайлов, С. С. Власенко, *УФН* **165**, 263 (1995).
5. Н. С. Brinkman, *Appl. Sci. Res. A* **1**, 27 (1947).
6. P. Debye and A. M. Bueche, *J. Chem. Phys.* **16**, 573 (1948).
7. W. van Saarloos, *Physica A* **147**, 280 (1987).
8. S. Veerapaneni and M. R. Wiesner, *J. Colloid Interface Sci.* **177**, 45 (1996).
9. M. Vanni, *Chem. Eng. Sci.* **55**, 685 (2000).
10. G. Ooms, P. F. Mijnlieff, and H. L. Beckers, *J. Chem. Phys.* **53**, 4123 (1970).
11. А. Кратцер, В. Франц, *Трансцендентные функции*, Изд-во иностр. лит., Москва (1963).
12. М. А. Лаврентьев, Б. В. Шабат, *Методы теории функций комплексного переменного*, Наука, Москва (1973).
13. Л. Д. Ландау, Е. М. Лифшиц, *Гидродинамика*, Наука, Москва (1986).